

## Секция 5. Машины и оборудование пищевых производств

Специалистами РУП «БелНИИ пищевых продуктов» для системы общественного питания разработана технология и оборудование по получению формованных обжаренных продуктов на основе сухого картофельного пюре (гарнирного картофеля).

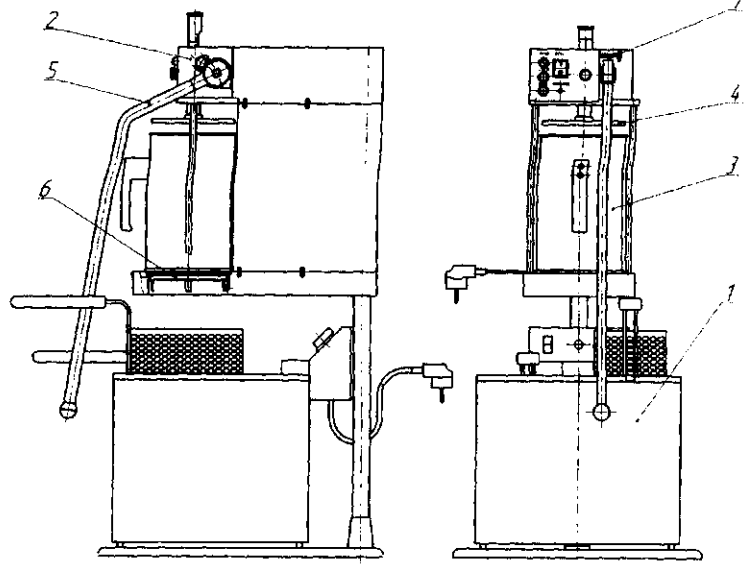
Технологическая схема получения формованных обжаренных продуктов состоит из следующих последовательно осуществляемых операций: подготовка компонентов, смещивание, формование, обжаривание.

Готовый продукт, полученный по данной технологии, представляет собой однородные палочки цилиндрической формы с волнистой поверхностью диаметром 9÷12 мм и длиной не менее 50 мм, золотистого цвета, хрустящей пористой консистенции.

Получение данных продуктов возможно с применением полуавтоматической установки Ш12-УФП, которая отвечает всем современным требованиям.

Установка (см. рисунок) состоит из следующих составных частей: фритюрницы (1), рамы формователя (2), цилиндра с фильтерой (3), поршня (4), рычага (5), ножа (6), ограничителя (7).

Достоинства установки – низкий уровень энергопотребления, малая материалоемкость, удобство при обслуживании и эксплуатации.



Установка формовочная полуавтоматическая Ш12-УФП

УДК 539.372

### ОЦЕНКА РАБОТОСПОСОБНОСТИ КОНСТРУКЦИОННЫХ СТАЛЕЙ МАШИН ПИЩЕВЫХ ПРОИЗВОДСТВ ПОСЛЕ ЭКСПЛУАТАЦИИ

*Н.Н.Курилович, В.Ю.Садковский*

Могилевский государственный университет продовольствия, Беларусь

В процессе длительной эксплуатации машин и оборудования пищевых производств в конструкционных сталях накапливаются особого рода повреждения. Величина этих повреждений может быть определена скалярной величиной  $\Pi$ . Величина  $\Pi$  в начале эксплуатации равна нулю, а в момент разрушения - единице. Для оценки предварительной поврежденности используется кинетическое уравнение повреждений:

$$\Pi = \frac{1}{C_0} \exp \frac{\sigma}{A_0} \cdot \theta, \quad (1)$$

где постоянные  $C_0$  и  $A_0$  легко определяются при аппроксимации кривых длительной прочности, полученных в условиях линейного растяжения и соответствующей эксплуатации температуре,  $\theta$  – время эксплуатации материала.

Из (1) легко получить формулу для оценки предела прочности материалов с изменением выдержки под нагрузкой после накопления предварительной поврежденности  $\Pi$ . Так как, предел прочности материалов зависит от скорости деформирования (нагружения)  $V_\sigma$ , то в формулу для определения механических свойств материалов можно ввести эту величину. Величина предела прочности после длительной эксплуатации может быть определена так:

$$\sigma_p = A_0 \ln \left[ 1 + \frac{V_\sigma \cdot C_0 \cdot (1 - \Pi)}{A_0} \right] \quad (2)$$

## Секция 5. Машины и оборудование пищевых производств

Опытная проверка выражения (2) проводилась на двух конструкционных сплавах ЭП - 182(20ХМ1Ø1ТР) и ЭИ - 765(ХН70ВМЮТ), работающих при повышенных температурах. Экспериментальная проверка выражения (2) дает хорошие результаты. Так, для выше названных материалов при скорости нагружения  $V_\sigma = 3 \text{ МПа/с}$  теоретические значения разрушающих напряжений для стали ЭП-182 при  $\Pi=0,43$  составили 813 МПа, а экспериментальные 650 МПа. Более точные предсказания для сплава ЭИ-765. При поврежденности  $\Pi=0,69$  экспериментальные значения разрушающих напряжений равны 755 МПа, а рассчитанных по выражению (2) 722 МПа.

УДК 539.372

### СИЛОВЫЕ МОДЕЛИ ОПРЕДЕЛЕНИЯ ПОВРЕЖДЕНИЙ ЭЛЕМЕНТОВ

#### МАШИН ПИЩЕВЫХ ПРОИЗВОДСТВ

*Н.Н. Курилович, В.Ю. Свадковский*

Могилевский государственный университет продовольствия, Беларусь

Процесс длительного разрушения материалов принято разбивать на две основные стадии: стадию накопления повреждений, диссеминированных по множеству микроскопических объемов, стадию роста одного или ряда магистральных трещин, приводящих к разрушению материала. Можно считать, что начало развития магистральной трещины практически совпадает с полным разрушением. Силовые модели разрушения основаны на том допущении, что повреждения возникают в результате пребывания элемента материала под напряжением независимо от величины и характера деформаций, сопровождающих процесс нагружения. Наиболее распространенной и широко используемой является модель линейного суммирования повреждений.

При постоянных температурах эксплуатации можно предложить кинетическое уравнение повреждений (КУП):

$$\frac{d\Pi}{dt} = f(\sigma_i) \quad (1)$$

Условие разрушения записывается как равенство  $\Pi=1$ . В начале эксплуатации  $\Pi=0$ .

Эксперименты показывают, что функция напряжений  $f(\sigma)$  экспоненциальный характер и определяется по кривым длительной прочности и имеет вид:

$$f(\sigma) = \frac{1}{C_0} \exp \frac{\sigma_i}{A_0} \quad (2)$$

В случае сложного напряженного состояния выражения (1) может быть записано так:

$$\frac{d\Pi}{dt} = f(\sigma_i) \cdot \mu(s), \quad (3)$$

где  $\mu(s)$  – функция, учитывающая влияние коэффициента Поде на скорость накопления повреждений,  $t$  – время эксплуатации,  $\sigma_i$  - интенсивность напряжений.

Выражение (3) хорошо согласуется с экспериментальными данными.

УДК 637.134

### НОВЫЕ СПОСОБЫ ГОМОГЕНИЗАЦИИ МОЛОКА

*А.В. Гвоздев, К.О. Самойчук, Э.П. Кокоulin*

Таврическая государственная агротехническая академия, Мелитополь, Украина

В молочной промышленности одним из важных нормативных процессов является гомогенизация. В настоящее время в промышленности используются в основном традиционные клапанные гомогенизаторы, которые обеспечивают удовлетворительную степень гомогенизации (2,5-5), но имеют очень высокие удельные затраты энергии (6,5-7,6 кВт/т) а также другие недостатки.

Получить высокую степень гомогенизации при небольших энергозатратах возможно с помощью малоисследованного способа гомогенизации – противоточно-струйной гомогенизации. По результатам проведённых теоретических исследований, было сконструировано устройство для проведения экспериментальных исследований.

Степень гомогенизации определялась путём измерения диаметров и подсчёта количества жировых шариков по фотографиям специально подготовленных проб молока, полученным с помощью веб-камеры, смонтированной на микроскопе МИКМЕД-1.

В результате обработки экспериментальных данных было установлено, что при угле конусности насадка форсунок равным  $45^\circ$  достигается максимальная степень гомогенизации при наименьших энергозатратах. Оптимальная температура молока при противоточно-струйной гомогенизации находится в пределах, рекомендуемых для клапанных гомогенизаторов. При избыточном давлении 1,0 МПа, средний диаметр жировых шариков при противоточно-струйной гомогенизации достигает величины 0,8 мкм, что сравнимо с